

# کاربرد روش نگاشت برگشتی در تحلیل کشسانی-خمیری مخازن تحت فشار با رفتار سختی سینماتیک غیر خطی

علی نایبی (استادیار)

دانشکده هندسی، بخش مهندسی مکانیک، دانشگاه شیراز

حسرو نادران طحان (دانشیار)

سجاد بازدار (کارشناس ارشد)

دانشکده هندسی، دانشگاه نوید چمران اهواز

تحلیل کشسانی - خمیری مخازن تحت فشار نقش مهمی در طراحی آنها دارد. برای انجام این تحلیل استفاده از یک روش محاسباتی مناسب ضرورت دارد. «نگاشت برگشتی» یک روش محاسباتی مناسب برای تحلیل مسائل غیرخطی است. در این تحقیق با استفاده از این روش یک استوانه‌ی جدارضخیم تحت فشار داخلی تغییر به صورت کشسانی - خمیری تحلیل شده است. رفتار ماده، غیرخطی با سخت‌شوندگی سینماتیک فرض شده است. از مدل فردیک - آرسمنیانگ برای بیان معادلات اساسی و معیار تسلیم فون میسنس برای ارزیابی رفتار ماده استفاده شد. با استفاده از معادلات گسترش‌یافته‌ی روش نگاشت برگشتی برای رفتار فوق در تحلیل استوانه‌ی جدارضخیم، نمودار تنش - کرنش سازه تحت بارگذاری دوره‌یی تعیین شد. مقایسه‌ی نتایج حاصله با نتایج ناشی از روش اجزاء محدود نشان‌گر انطباق قابل ملاحظه‌ی این نتایج است.

nayebi@shirazu.ac.ir  
naderan\_k@scu.ac.ir  
sajadbazdar59@yahoo.com

واژگان کلیدی: روش نگاشت برگشتی، تغییر شکل کشسانی - خمیری، مخازن جدارضخیم، بارگذاری دوره‌یی.

## ۱. مقدمه

هدف از این تحقیق کاربرد الگوریتم نگاشت برگشتی در تحلیل بارگذاری دوره‌یی مخازن جدارضخیم با رفتار سختی سینماتیکی غیرخطی است. در این روش ابتدا معادلات لازم برای مدل انتخاب شده بسط داده می‌شوند. در مرحله‌ی بعد، این معادلات به صورت جزئی و براساس الگوریتم نگاشت برگشتی ارائه می‌شوند. سپس کاربرد روش عددی برای یک استوانه‌ی جدارضخیم تحت فشار داخلی ارائه، و پاسخ الگوریتم ارائه شده با نتایج حاصل از مدل‌سازی توسط ANSYS مقایسه شده است.

## ۲. معادلات ساختاری

در این تحلیل فرض می‌شود که استوانه‌ی جدارضخیم از معیار تسلیم فون میسنس پیروی می‌کند. فون میسنس در سال ۱۹۱۳ معیار ایجاد جریان خمیری را مطابق رابطه‌های ۱ و ۲ بیان کرد:<sup>[۱۲]</sup>

$$f = J_2(\sigma - X) - \frac{1}{3}\sigma_y^2 = 0 \quad (1)$$

$$J_2(\sigma - X) = \left[ \frac{1}{2}(\sigma' - X') : (\sigma' - X') \right] \quad (2)$$

که در آن  $X$  متغیر سخت‌شوندگی سینماتیکی و نشان‌گر موقعیت مرکز سطح تسلیم،  $\sigma_y$  تنش تسلیم یا اندازه‌ی اولیه‌ی سطح تسلیم، و  $X'$  و  $\sigma'$  به ترتیب مقادیر انحرافی

تحلیل تنش و کرنش مخازن جدارضخیم که تحت بارگذاری دوره‌یی هستند، نقش مهمی در طراحی این مخازن دارد. استفاده از مدل‌های ساده برای تحلیل کشسانی - خمیری، امکان به دست آوردن روابط تحلیلی را فراهم می‌کند.<sup>[۱-۳]</sup> اگرچه کار با این مدل‌های ساده‌تر است، این مدل‌های ساده همانند مدل «سختی سینماتیکی خطی» توانایی پیش‌بینی یا تخمين دقیق بعضی از رفتارهای سازه‌ها (نظیر رچتینگ<sup>[۱]</sup>) را ندارند. اگرچه مدل‌های دقیق‌تر در توصیف رفتار مواد در بارگذاری های غیرمتناوب توانایی بهتری دارند، محاسبات آنها پیچیده‌تر است؛ استفاده از روش‌های عددی نیازمند صرف زمان طولانی است. بنابراین انتخاب روش عددی مناسب در تحلیل‌های کشسانی - خمیری نقش مهمی در درستی و زمان لازم برای به دست آوردن آنها دارد.

در سال ۱۹۸۵ روش نزدیک ترین تصویر<sup>[۲]</sup> با انجام اصلاحاتی به نام الگوریتم نگاشت برگشتی<sup>[۳]</sup> معرفی شد.<sup>[۴]</sup> الگوریتم نگاشت برگشتی یک شیوه‌ی مناسب برای انتگرال‌گیری از معادلات ساختاری توصیف رفتار مواد است.<sup>[۵-۶]</sup> اساس این روش بدین ترتیب است که ابتدا از معادلات کشسان برای نیل به یک تخمين کشسان انتگرال‌گیری می‌شود. این تخمين کشسان به عنوان شرط اولیه تصحیح خمیری مورد استفاده قرار می‌گیرد. سپس تنش‌های کشسان تخمين‌زده شده روی سطح تسلیم به روز شده، تصحیح می‌شود؛ در این تصحیح باید شرط تطابق نیز تأمین شود.<sup>[۷-۱۰]</sup>

تاریخ: دریافت ۱۷/۱/۱۳۸۷، داوری ۲۵/۸/۱۳۸۷، پذیرش ۱۳/۱۱/۱۳۸۷.

جریان خمیری رخ داده باشد، مقدار کرنش خمیری محاسبه می‌شود. با توجه به حل آزمایشی کشسانی و توسط پارامتر سازگاری  $\lambda$ , شرایط بارگذاری - باربرداری و رابطه‌ی سطح تسلیم، کرش‌ها اصلاح می‌شوند. هدف از الگوریتم فوق، محاسبه‌ی تنش و کرنش‌های کشسان و خمیری در زمان  $t_{n+1}$  با توجه به سابقه‌ی تنش - کرنش در زمان  $t_n$  است:

$$t_{n+1} = t_n + \Delta t \quad (12)$$

تمامی متغیرها در زمان  $t_n$  معلوم فرض می‌شوند. در این صورت تنش در زمان  $t_n$  عبارت است از:

$$\sigma_n = E[\varepsilon_n - \varepsilon_n^p] \quad (13)$$

اکنون با اعمال جزء کرنش  $\Delta\varepsilon_n$  در زمان  $t_n$ , به‌کمک الگوریتم نگاشت برگشتی مقدادر  $\varepsilon_{n+1}, \varepsilon_n^p$  و  $X_{n+1}$  محاسبه می‌شوند (شکل ۱). با اعمال روش اوپلر ضمنی پسرو، شکل جزئی معادلات اساسی به دست آورده می‌شود. رابطه‌ی ۸ با اعمال این روش به‌شکل جزئی نوشتہ می‌شود:

$$\begin{cases} X_{n+1} = X_n + \Delta X_{n+1} \\ X_{n+1} = X_n + \frac{\gamma}{\tau} C_x (Q_x P \tau_{n+1} - \sigma_y X_{n+1}) \Delta \lambda_{n+1} \end{cases} \quad (14)$$

و با فاکتورگری از  $X_{n+1}$  رابطه‌ی ۱۵ به دست می‌آید:

$$\begin{cases} X_{n+1} = A_x^{-1} X_n + \frac{\gamma}{\tau} A_x^{-1} C_x Q_x P \tau_{n+1} \Delta \lambda_{n+1} \\ A_x = 1 + \frac{\gamma}{\tau} C_x \sigma_y \Delta \lambda_{n+1} \end{cases} \quad (15)$$

و با اعمال روش اوپلر ضمنی بر روی روابط ۴ تا ۷ و رابطه‌ی ۱۰، چنین نوشتہ می‌شوند:

$$\tau_{n+1} = \sigma_{n+1} - X_{n+1} \quad (16)$$

$$f_{n+1} = \frac{1}{\tau} \tau_{n+1}^T P \tau_{n+1} - \frac{1}{\tau} \sigma_y^* \leq 0 \quad (17)$$

$$\varepsilon_{n+1}^p = \varepsilon_n^p + P \tau_{n+1} \Delta \lambda_{n+1} \quad (18)$$

$$p_{n+1} = p_n + \frac{\gamma}{\tau} \sigma_y \Delta \lambda_{n+1} \quad (19)$$

$$\sigma_{n+1} = C(\varepsilon_{n+1} - \varepsilon_n^p) - C P \tau_{n+1} \Delta \lambda_{n+1} \quad (20)$$

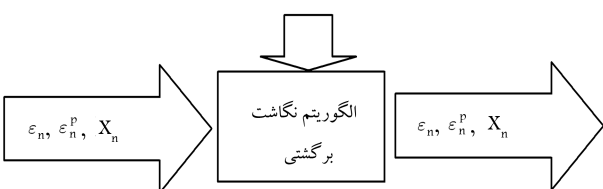
آزمون کشسانی را می‌توان مطابق رابطه‌ی ۲۱ نوشت:

$$\sigma_{n+1}^{trial} = C(\varepsilon_{n+1} - \varepsilon_n^p) \quad (21)$$

شرط ایجاد جریان خمیری نیز مطابق رابطه‌ی ۲۲ نوشتہ می‌شود:

$$f(\sigma_{n+1}^{trial}, X_n) = \begin{cases} \leq 0 & \text{Elastic state} \\ > 0 & \text{Plastic state} \end{cases} \quad (22)$$

بار جزئی اعمالی



شکل ۱. روند اعمال الگوریتم برگشتی.

متغیر سخت‌شوندنگی سینماتیکی و تنش است. می‌توان یک ماتریس تصویر برای فضای تنش در نظر گرفت که هرگاه در ماتریس تنش ضرب شود، ماتریس تنش انحرافی آن ماتریس را مشخص می‌کند:

$$\sigma' = P\sigma \quad (3)$$

اکنون اگر تنش مؤثر به صورت رابطه‌ی ۴ تعریف شود، با استفاده از خاصیت ماتریس  $P$ , می‌توان رابطه‌ی سطح تسلیم را چنین نوشت:

$$\tau = \sigma - X \quad (4)$$

$$f = \frac{1}{\tau} \tau^T P \tau - \frac{1}{\tau} \sigma_y^* \quad (5)$$

جزء کرنش خمیری در فضای تنش عمود بر سطح تسلیم است («قانون تعامل»<sup>۴</sup>) و جریان خمیری نیز از این خاصیت پیروی می‌کند:

$$d\varepsilon^p = d\lambda \frac{\partial f}{\partial \sigma} = d\lambda \cdot P \cdot \tau \quad (6)$$

با استفاده از رابطه‌ی کرنش خمیری تجمعی<sup>۵</sup> و رابطه‌ی ۶، نمو کرنش خمیری تجمعی برابر است با:

$$dp = \left( \frac{2}{3} d\varepsilon^p : d\varepsilon^p \right)^{\frac{1}{2}} = \frac{2}{3} d\lambda \sigma_y \quad (7)$$

به منظور توصیف چگونگی جابه‌جایی سطح تسلیم در فضای تنش، مدل آرمسترانگ - فردربیک<sup>[۱۲]</sup> مطابق رابطه‌ی ۸ نوشتہ می‌شود:

$$dX = \frac{2}{3} cd\varepsilon^p - \gamma X dp \quad (8)$$

که در آن  $dX$  نشان‌دهنده‌ی جزء تانسور تنش پایه<sup>۶</sup> است که بیان‌گر انتقال جزئی مرکز سطح تسلیم در فضای تنش است.  $c$  و  $\gamma$  دو ثابت ماده‌اند که از منحنی هیستوزیس پایدار تکمحوری تعیین می‌شوند. اکنون با این فرض که  $\gamma = c/\tau$  و  $C_x = c/\gamma$  و نیز با استفاده از رابطه‌های ۶ و ۷، رابطه‌ی سختی سینماتیکی غیر خطی مطابق رابطه‌ی ۹ ساده می‌شود:

$$dX = \frac{2}{3} C_x (Q_x P \tau - \sigma_y X) d\lambda \quad (9)$$

با توجه به ماهیت متفاوت تغییر شکل‌های کشسانی و خمیری، از اصل جمع‌بندیری کرنش‌ها استفاده می‌کنیم. بنابراین می‌توان نوشت:

$$\varepsilon = \varepsilon^e + \varepsilon^p \quad (10)$$

اکنون با استفاده از رابطه‌ی هوك و رابطه‌ی ۶ می‌توان نتیجه گرفت که:

$$d\sigma = C(d\varepsilon - d\varepsilon^p) = C(d\varepsilon - d\lambda \frac{\partial f}{\partial \sigma}) \quad (11)$$

### ۳. الگوریتم نگاشت برگشتی

در این بخش کاربرد الگوریتم نگاشت برگشتی برای مدل خمیری چندمحوری مستقل از نمو بارگذاری بیان می‌شود. ابتدا با در نظر گرفتن تانسور تنش یک نقطه‌ی مادی از جسم، و نیز با استفاده از معیار تسلیم (رابطه‌ی ۱) بررسی می‌شود که آیا در آن نقطه تحت بارگذاری اعمال شده شرط تسلیم تأمین می‌شود یا نه. سپس اگر

همچنین ماتریس تنش‌های انحرافی عبارت است از:

$$S = [\sigma'_{11}, \sigma'_{12}, \sigma'_{13}]^T \quad (31)$$

در الگوریتم نگاشت برگشتی، ماتریس نگاشت در حالت تنش صفحه‌یی چنین معروفی می‌شود:

$$p = \frac{1}{3} \begin{bmatrix} 2 & -1 & 0 \\ -1 & 2 & 0 \\ 0 & 0 & 3 \end{bmatrix} \quad (32)$$

که از ضرب این ماتریس در ماتریس تنش صفحه‌یی، ماتریس تنش‌های انحرافی در حالت تنش صفحه‌یی به دست می‌آید:

$$\sigma' = P\sigma \quad (33)$$

ماتریس معروفی شده در رابطه‌ی ۳۲ فقط در حالت تنش صفحه‌یی کاربرد دارد. ماتریس مدول کشسان در حالت تنش صفحه‌یی عبارت است از:

$$C = \frac{E}{1-\nu^2} \begin{bmatrix} \frac{1}{\nu} & \frac{1}{\nu} & 0 \\ 0 & 0 & 1-\nu \\ 0 & 0 & \frac{1}{\nu} \end{bmatrix} \quad (34)$$

در مورد مواد الاستیستیته‌ی ایزوتروپیک، ماتریس  $C$  و ماتریس تصویر  $P$  خصوصیات زیرفضایی پیکسانی دارند و به راحتی قطری می‌شوند:

$$P = Q\Lambda_p Q^T \quad (35)$$

$$C = Q\Lambda_c Q^T \quad (36)$$

ماتریس  $Q$  یک ماتریس متعامد است ( $Q^{-1} = Q^T$ ) که در حالت تنش صفحه‌یی چنین نوشته می‌شود:

$$Q = \frac{1}{\sqrt{2}} \begin{bmatrix} 1 & -1 & 0 \\ 1 & 1 & 0 \\ 0 & 0 & \sqrt{2} \end{bmatrix} \quad (37)$$

ماتریس‌های  $\Lambda_p$  و  $\Lambda_c$  نیز چنین معروفی می‌شوند:

$$\Lambda_p = \frac{1}{\sqrt{2}} \begin{bmatrix} \frac{1}{\nu} & 0 & 0 \\ 0 & \frac{1}{\nu} & 0 \\ 0 & 0 & 2 \end{bmatrix} \quad (38)$$

$$\Lambda_c = \frac{1}{\sqrt{2}} \begin{bmatrix} \frac{E}{1-\nu} & 0 & 0 \\ 0 & 2 & \mu \\ 0 & \mu & \mu \end{bmatrix} \quad (39)$$

که در آن  $\mu$  ثابت لامه است.

## ۵. تحلیل استوانه جدار ضخیم

تانسور تنش در یک استوانه‌ی جدار ضخیم توالی تحت فشار داخلی  $P$  به شعاع داخلی  $a$  و شعاع خارجی  $b$  در مختصات استوانه‌ی مطابق رابطه‌ی ۴۰ نوشته می‌شود:

$$\sigma = \begin{bmatrix} \sigma_r \\ \sigma_\theta \\ \sigma_z \end{bmatrix} \quad (40)$$

با به کار بردن روابط تعادل، سازگاری و تنش-کرنش، روابط را می‌توان برای تنش‌های شعاعی و محیطی استوانه‌ی جدار ضخیم تحت حالت تنش صفحه‌یی با شعاع داخلی  $a$  و شعاع خارجی  $b$ ، تحت فشار داخلی به دست آورد. برای سهولت تنش‌ها و کرنش‌ها به شکل رابطه‌ی ۴۱ بی بعد می‌شوند:

$$S_r = \frac{\sigma_r}{\sigma_y}, \quad S_\theta = \frac{\sigma_\theta}{\sigma_y}, \quad \bar{P} = \frac{p}{\sigma_y}, \quad \rho = \frac{r}{a}, \quad \beta = \frac{b}{a}, \quad e_r = \frac{\varepsilon_r}{\varepsilon_y}, \quad e_\theta = \frac{\varepsilon_\theta}{\varepsilon_y} \quad (41)$$

اگر آزمون کشسانی صحیح باشد، شرط حالت کشسان برقرار است، اما اگر شرط جریان خمیری برقرار شده باشد باید با استفاده از روش نیوتون - رافسون و شرایط بازگذاری - باربرداری (رابطه‌ی ۲۳) کرنش‌ها را محاسبه کرد:

$$f_{n+1} \leq 0, \quad \Delta\lambda > 0, \quad \Delta\lambda \cdot f_{n+1} = 0 \quad (23)$$

برای حل معادلات فوق، پیشنهاد شده است که تنش موثر در فضای تنش  $k$  بعدی به صورت مجموع حاصل ضرب بردارهای ویژه‌ی  $\nu_k$  در مقادیر ویژه‌ی  $\xi_k$  در نظر گرفته شود.<sup>[۸]</sup>

$$\tau_{n+1} = \sum_{k=1}^3 \xi_k \nu_k \quad (24)$$

برای مقادیر ویژه از دستگاه ۲۵ استفاده می‌شود:

$$\begin{cases} v_k^T C^{-1} v_1 = \delta_{k1} \\ v_k^T P v_1 = \mu_k \delta_{k1} \\ P v_k = \mu_k C^{-1} v_k \end{cases} \quad (25)$$

با حل این دستگاه مقادیر ویژه مطابق رابطه‌ی ۲۶ و ۲۷ به دست می‌آید:

$$\begin{cases} \xi_k = \frac{\alpha_k}{1 + \Delta\lambda(\frac{1}{3} C_x Q_x A_x^{-1} + \mu_k)} \\ \alpha_k = v_k^T C^{-1} \tau_{n+1}^T \end{cases} \quad (26)$$

$$\tau_{n+1}^{Trial} = C(\varepsilon_{n+1} - \varepsilon_n^p) - A_x^{-1} X_n \quad (27)$$

اکنون با جایگذاری روابط ۲۶ و ۲۷ در رابطه‌ی ۲۴ و با کاربرد روابط ۱۵، ۲۰ و ۲۴ در رابطه‌ی ۱۶ و سپس جایگذاری نتیجه‌ی آن در رابطه‌ی سطح تسیلم (رابطه‌ی ۱۷)، می‌توان نوشت:

$$f_{n+1} = \frac{1}{2} \sum_{k=1}^3 \mu_k \frac{\alpha_k^s}{[1 + \Delta\lambda_{n+1} (\frac{1}{3} C_x Q_x A_x^{-1} + \mu_k)]} - \frac{1}{3} \sigma_z^s = 0 \quad (28)$$

با استفاده از روش تکراری نیوتون - رافسون نیز می‌توان معادله‌ی غیرخطی ۲۸ را با استفاده از رابطه‌ی ۲۹ حل کرد:

$$\Delta\lambda_{n+1}^{s+1} = \Delta\lambda_n^s - \frac{f_{n+1}^s}{(\frac{df}{d\Delta\lambda})_{n+1}^s} \quad (29)$$

معادلات ۱۴ تا ۲۹ روابط الگوریتم نگاشت برگشتی را تشکیل می‌دهند و پارامتر  $s$  نشان‌گر تعداد مراحل تکرار است.

## ۴. کاربرد الگوریتم نگاشت برگشتی در حالت دو بعدی

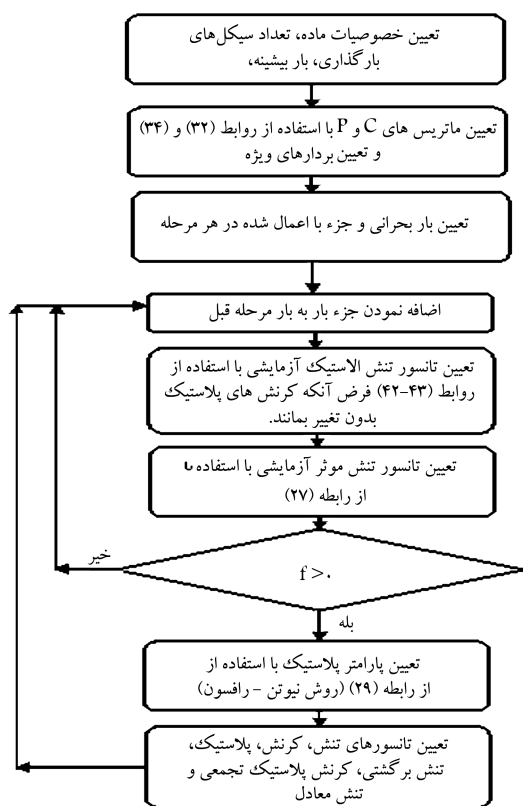
در حالت تنش صفحه‌یی، تانسور تنش چنین نمایش داده می‌شود:

$$\sigma = [\sigma_{11}, \sigma_{12}, \sigma_{13}]^T \quad (30)$$

روابط تنش‌های شعاعی و تتماسی در منطقه‌ی خمیری عبارت‌اند از:

$$S_r = -\frac{\bar{P}}{\rho^r} + (1 - \frac{1}{\rho^r})(\frac{1}{\beta^r} - 1) \left[ \bar{p} - \int (\int \frac{e_r^p - e_\theta^p}{\rho} d\rho) \rho d\rho \right] + \frac{1}{2} \int \frac{e_r^p - e_\theta^p}{\rho} d\rho - \frac{1}{2} (e_r^p - e_\theta^p) \quad (42)$$

$$S_\theta = \frac{\bar{P}}{\rho^r} + (1 + \frac{1}{\rho^r})(\frac{1}{\beta^r} - 1) \left[ \bar{P} - \int (\int \frac{e_r^p - e_\theta^p}{\rho} d\rho) \rho d\rho \right] + \frac{1}{2} \int \frac{e_r^p - e_\theta^p}{\rho} d\rho + \frac{1}{2} (e_r^p - e_\theta^p) \quad (43)$$



شکل ۲. الگوریتم روش عددی.

جدول ۱. ثابت‌های مدل آرمسترانگ - فردریک برای ماده‌ی استوانه‌ی جدارضخیم.

| $\gamma$ | $c$ (MPa) | $E$ (GPa) | تنش تسلیم $\sigma_y$ (MPa) |
|----------|-----------|-----------|----------------------------|
| ۶۰       | ۲۰۰۰۰     | ۰,۳       | ۱۳۳                        |

تعداد جزء بارها در هر دو نوع بارگذاری یک‌نوا و دوره‌بی در هر دو روش نگاشت برگشتی و اجراء محدود، یکسان فرض شد. مشاهده شد که زمان لازم برای تحلیل اجراء محدود سه برابر زمان لازم برای الگوریتم نگاشت برگشتی است.

### ۱.۸. بارگذاری دوره‌بی

در تحلیل بارگذاری دوره‌بی استوانه‌ی جدارضخیم، فشار داخلی بین صفر و مقدار بیشینه تغییر می‌کند. در هر دوره مقاومت فشار داخلی و فشار بیشینه به  $10^0$  نمو بار تقسیم، و در هر مرحله از روش نگاشت برگشتی استفاده شد. سپس تنش‌های شعاعی و تتماسی به دست آمدند. شکل ۳ تغییرات تنش‌های شعاعی و محیطی را بر حسب کرنش شعاعی و محیطی در شعاع داخلی استوانه نشان می‌دهد. همچنین تغییرات کرنش خمیری در راستای شعاع استوانه تعیین شد. با افزایش تعداد دوره‌های بارگذاری، کرنش خمیری شعاعی و محیطی افزایش می‌یابد. با توجه به این که رچتینگ (پدیده‌ی افزایش کرنش‌های خمیری در هر دوره با نمو ثابت یا افزایشی) است (شکل ۴).

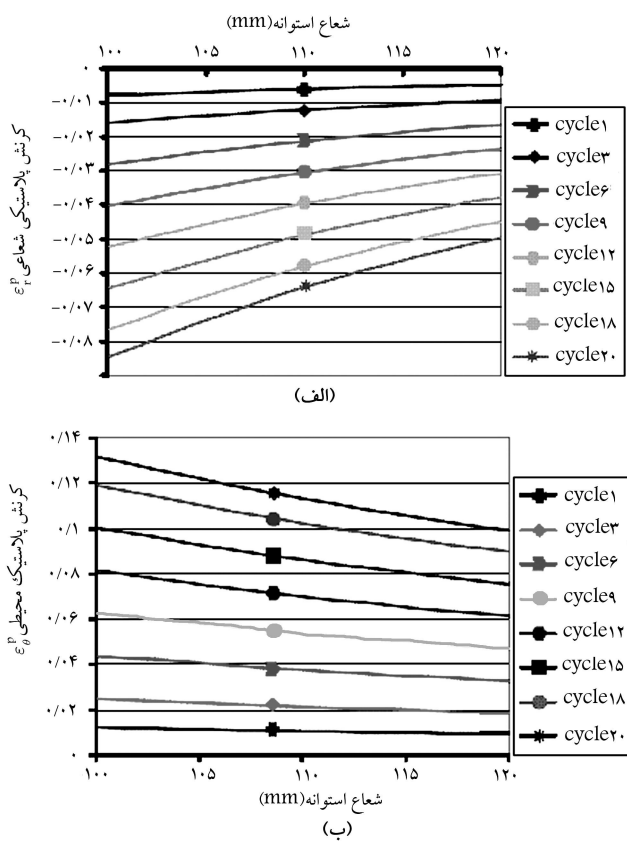
چنان‌که در شکل‌های ۵ الف و ۵ ب نشان داده شده است، تنش‌های پسماند

## ۷. تحلیل به روش اجزاء محدود

در این تحقیق مدل‌سازی رفتار پلاستیسیته مستقل از زمان، و با استفاده از مدل سخت‌شوندگی سینماتیکی آرمسترانگ - فردریک با معیار تسلیم فون میسنس برای یک استوانه‌ی جدارضخیم تحت بارگذاری دوره‌بی و شرایط تنش صفحه‌بی انجام شده است. بهمنظور تحلیل این مسئله به روش محدود از نرم‌افزار ANSYS بهره گرفته شد. با وجود تقارن محوری، یک جزء دو بعدی که توأی انجام تحلیل فوق را دارد، انتخاب شد. تعداد ۱۱۷۶ المان PLANE18۳ برای مدل‌سازی به کار برد شد. تعداد لایه‌ها در راستای شعاع با تعداد تقسیمات در روش نگاشت برگشتی یکسان در نظر گرفته شد تا بتوان نتایج دو روش را مقایسه کرد.

## ۸. نتایج، بحث و بررسی

به منظور کاربرد روش، یک استوانه‌ی جدارضخیم به شعاع داخلی  $100\text{ mm}$  و شعاع خارجی  $120\text{ mm}$  تحت فشار داخلی یک‌نوا و دوره‌بی در نظر گرفته شد. فرض شد ماده از مدل سختی سینماتیکی آرمسترانگ - فردریک پیروی کند. ثابت‌های ماده براساس مدل فوق در جدول ۱ ارائه شده است.

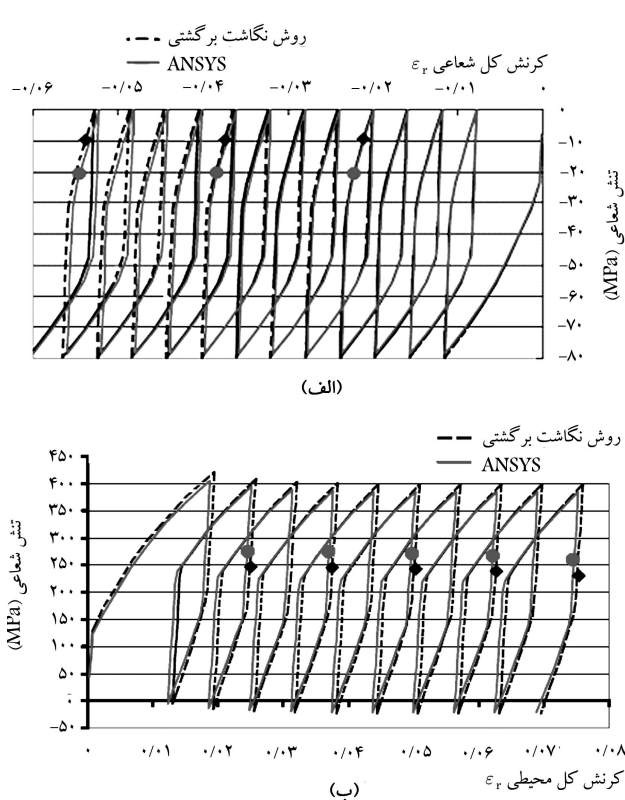


شکل ۵. (الف) تغییرات تنש‌های شعاعی و محیطی؛ (ب) پسماند برحسب شعاع استوانه.

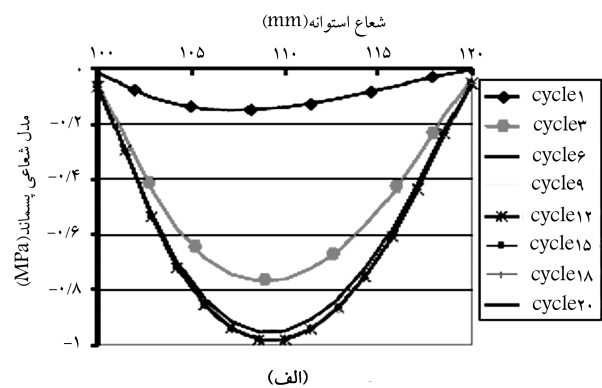
شعاعی و محیطی از دوره‌ی ۶ به بعد تقریباً ثابت بوده و تغییرات زیادی در آن مشاهده نمی‌شود. همچنین همهٔ نمودارهای تنش‌های محیطی در یک نقطهٔ تلاقی می‌کنند و تنش پسماند تقریباً در وسط ضخامت استوانه و مستقل از دورهٔ بارگذاری است.

## ۹. نتیجه‌گیری

در این تحقیق کاربرد الگوریتم نگاشت برگشتی برای تحلیل مسائل تنش صفحه‌یی با رفتار سختی سینماتیکی غیرخطی بررسی شد. معادلات الگوریتم توسعه داده شدند و سپس برای مسائل تنش صفحه‌یی ساده شدند. از این الگوریتم برای تحلیل بارگذاری دوره‌یی یک استوانه‌ی جدار پختیم تحت بارگذاری فشار داخلی و شرایط تنش صفحه‌یی استفاده شد. کرنش‌های خمیری با استفاده از مدل سخت‌شوندگی سینماتیکی غیرخطی آرمسترانگ - فردیک در قالب الگوریتم نگاشت برگشتی محاسبه شدند. به منظور انجام مقایسه، مسئله به‌کمک روش محدود نیز بررسی شد. روش الگوریتم نگاشت برگشتی در مقایسه با روش اجراء محدود سریع‌تر به پاسخ همگار می‌شود. همچنین مشخص شد که این روش برای تعداد اجراء برابر در راستای شعاع، با دقت بیشتری شرایط مرزی را تأمین می‌کند. پس از ۶ مرحله تکرار بارگذاری، تغییرات تنش‌های شعاعی و پسماند ناچیز می‌شود و با توجه به نوع بار اعمال شده، کرنش‌های خمیری در هر دوره افزایش یافته و پدیده‌ی رچتینگ قابل پیش‌بینی است. با توجه به جامعیت روش ارائه شده، می‌توان از آن برای تحلیل سازه‌های مختلف با مدل‌های پیچیده‌تر همچون مدل سختی سینماتیکی غیرخطی شاباش و تحت بارگذاری‌های بارگذاری حرارتی استفاده کرد.



شکل ۳. (الف) تغییرات تنش شعاعی برحسب کرنش شعاعی در شعاع داخلی استوانه؛ (ب) تغییرات تنش محیطی برحسب کرنش محیطی در شعاع داخلی استوانه.



شکل ۴. (الف) تغییرات کرنش‌های شعاعی و محیطی؛ (ب) برحسب شعاع استوانه در سیکل‌های مختلف.

## پانوشت

1. Ratchetting
2. closest-point-projection
3. return mapping algorithm
4. normality rule
5. accumulated plastic strain
6. back stress increment tensor

## منابع

1. Lemaître, J., and Chaboche, J.L. *Mechanics of solid materials*, Cambridge University Press, (1990).
2. Chaboche, J.L. "Constitutive equations for cyclic plasticity and cyclic viscoplasticity", *Int. J. Plasticity*, **5**, pp. 247-302 (1989).
3. Ohno, N. "Recent topics in constitutive modeling of cyclic plasticity and viscoplasticity", *Appl. Mech. Rev.* **43**, pp. 283-295 (1990).
4. Simo, J.C., and Taylor, R.L. "Consistent tangent operators for rate-independent elastoplasticity", *Comput. Methods Appl. Mech. Engrg.*, **48**, pp. 101-118, (1985).
5. Wilkins, M.L. *Calculation of elastic-plastic flow methods of computational physics*, **3**, Academic Press, New York (1964).
6. Krieg, R.D., and Key, S.W. "Implementation of time independent plasticity theory into structural computer programs, in: constitutive equations in viscoplasticity", Computational and Engineering Aspects, AMD-20, ASME, New York, pp. 125-138 (1986).
7. Simo, J.C. "A return mapping algorithm for plane stress elastoplasticity", *Int. J. Numer. Meth. Engrg.*, **22**, pp. 649-670 (1986).
8. Hopperstad, O.S., and Remseth, S., "A return mapping algorithm for a class of cyclic plasticity models", *Int. J. Numer. Meth. Engrg.*, **38**, pp. 549-564 (1995).
9. Hartmann, S.; Lührs, G., and Haupt, P. "An efficient stress algorithm with applications in viscoplasticity and plasticity", *Int. J. Numer. Meth. Engrg.*, **40**, pp. 991-1013 (1997).
10. Lubarda, V., and Benson, D. "On the numerical algorithm for isotropic kinematic hardening with the Armstrong-Fredrick evolution of the back stress", *Comput. Meth. Appl. Mech. Engrg.*, **191**, pp. 3583-3596 (2002).
11. Nukala, P. V.V. "A return mapping algorithm for cyclic viscoplastic constitutive models", *Comput. Meth. Appl. Engrg.*, **195**, pp. 148-178 (2006).
12. Von Mises, R. "Mechanik der festen Körper im plastisch-deformablen Zustand" In: Nachr, königl. Ges. Wiss. Göttingen, math. phys. Kl., pp. 582-593 (1913).
13. Armstrong, P.J., and Fredrick, C.O. "A mathematical representation of multiaxial bauschinger effect", C.E.G.B. Report RD/B/N, 731 (1966).